

ЭКСПЕРИМЕНТАЛЬНОЕ ИССЛЕДОВАНИЕ ПОТЕРИ И ЗАХВАТА ЭЛЕКТРОНОВ БЫСТРЫМИ НЕВОЗБУЖДЕННЫМИ И МЕТАСТАБИЛЬНЫМИ ГЕЛИЕПОДОБНЫМИ ИОНАМИ В ИОННО-АТОМНЫХ СТОЛКНОВЕНИЯХ

И. С. Дмитриев, В. С. Николаев, Ю. А. Ташаев,
Я. А. Теплова

Определены средние сечения потери и захвата одного и двух электронов для содержащих метастабильную компоненту пучков гелиеподобных частиц, образованных в процессе потери одного электрона литиеподобными ионами и полученных при прохождении пучка быстрых частиц через тонкую целлюлоидную пленку. По результатам этих измерений найдены сечения потери и захвата электронов невозбужденными гелиеподобными ионами и сечения потери электрона метастабильными гелиеподобными ионами с зарядом ядер Z от 3 до 8 при прохождении их со скоростью v от $4 \cdot 10^8$ до $12 \cdot 10^8$ см/сек через гелий и азот. Проведено сравнение полученных сечений потери и захвата электронов с сечениями для других простейших атомных систем. Определено относительное количество метастабильных частиц в пучках гелиеподобных ионов, образованных указанными способами.

§ 1. Введение

В пучках быстрых гелиеподобных ионов, которые используются в опытах по определению сечений потери и захвата электронов быстрыми частицами, как правило, значительная часть ионов находится в метастабильных состояниях $(1s2s)^1S$ [1]. Поэтому найденные в этих экспериментах сечения, вообще говоря, нельзя отнести к ионам, находящимся в основном состоянии $(1s^2)^1S$. Отдельно сечения потери электрона невозбужденными и метастабильными частицами были определены только для атомов гелия методом ослабления атомного пучка в камере столкновений [2-4]. Сечения потери электрона метастабильными атомами гелия определялись, кроме того, из соответствующих сечений для невозбужденных атомов и средних сечений для атомных пучков с известной метастабильной компонентой [5]. В настоящей работе предложен и применен экспериментальный метод определения сечений потери электрона невозбужденными гелиеподобными ионами по результатам измерения средних сечений потери электрона гелиеподобными ионами, образованными при ионизации быстрых литиеподобных частиц в однократных соударениях с атомами газа. В отличие от метода ослабления пучка этот метод может быть использован и в тех случаях, когда определяемые сечения потери электрона не только сравнимы, но и много меньше сечений захвата электрона.

В описываемых здесь опытах были измерены средние сечения потери и захвата одного и двух электронов гелиеподобными ионами, образованными при прохождении пучка быстрых частиц через целлюлоидную пленку и пучка быстрых литиеподобных частиц через тонкую газовую мишень. Сечения измерялись для ионов с зарядами ядер Z от 3 до 8 при прохождении их со скоростями $v = 4 \cdot 10^8$, $8 \cdot 10^8$ и $12 \cdot 10^8$ см/сек через гелий и азот. По результатам этих измерений определены сечения потери и захвата

одного и двух электронов невозбужденными гелиеподобными ионами и сечения потери одного электрона метастабильными частицами, оценено относительное количество метастабильных ионов в пучках гелиеподобных частиц при двух указанных способах их образования. Проведено сравнение сечений для невозбужденных и метастабильных гелиеподобных частиц с соответствующими сечениями для других простейших ионных систем. О некоторых из полученных результатов кратко сообщалось ранее [6].

§ 2. Эксперимент и его непосредственные результаты

Сечения потери и захвата электронов определялись масс-спектрометрическим методом на экспериментальной установке, описанной ранее [7]. В этих опытах использовались ускоренные в 72-сантиметровом циклотроне ионы $\text{Li}^{+1, +2}$, $\text{Be}^{+1, +2}$, $\text{B}^{+1, +2, +3}$, C^{+3} , $\text{N}^{+3, +4}$ и O^{+3} . Выведенные из ускорителя литиеподобные ионы Be^{+1} , B^{+2} , C^{+3} и N^{+4} с зарядами $i=Z-3$ пропускались либо через проточную газовую мишень толщиной $\sim 10^{15}$ атом/см², либо через целлулоидную пленку толщиной 2–3 мкг/см² (что соответствует $\sim 10^{17}$ атом/см²). Образовавшиеся при этом быстрые гелиеподобные частицы, часть которых находилась в метастабильных состояниях, выделялись магнитным масс-монохроматором и направлялись в камеру столкновений для определения сечений потери и захвата электронов. В тех случаях, когда в циклотроне ускорялись ионы B^{+1} , N^{+3} и O^{+3} с зарядами $i < Z-3$, из пучка ионов, часть которых изменила заряд в результате взаимодействия с атомами находящегося в ионопроводе остаточного газа, фокусирующим магнитом выделялись литиеподобные частицы B^{+2} , N^{+4} и O^{+5} . Эти ионы использовались затем таким же образом, как и литиеподобные частицы, полученные непосредственно из ускорителя. При ускорении в циклотроне гелиеподобных ионов Li^{+1} , Be^{+2} и B^{+3} с зарядами $i=Z-2$ измерения сечений были произведены для гелиеподобных ионов как входящих в состав ионного пучка, прошедшего через твердую пленку, так и полученных непосредственно из ускорителя. При ускорении водородоподобных ионов Li^{+2} производились измерения сечения потери и захвата электронов гелиеподобными ионами Li^{+} , образованными при прохождении ионного пучка через целлулоидную мишень. В каждом опыте камера столкновений наполнялась поочередно азотом и гелием; газовая мишень наполнялась азотом, а в ряде опытов также и гелием.

Интенсивность пучка гелиеподобных частиц, полученных путем ионизации литиеподобных ионов в тонкой газовой мишени, была на один-два порядка ниже интенсивности первоначального пучка, в связи с чем статистическая ошибка соответствующих сечений была несколько больше, чем обычно. Полная ошибка полученных в эксперименте величин сечений потери и захвата одного электрона составляет 10–15%, а сечений потери и захвата двух электронов — 20–30%.

Полученные в этих опытах сечения потери и захвата электронов гелиеподобными ионами, образованными в целлулоидной пленке, а также измеренные для контроля аналогичные сечения для водородо- и литиеподобных ионов $\text{B}^{+2, +4}$, $\text{C}^{+3, +5}$, $\text{N}^{+4, +6}$ и O^{+5} совпадают в пределах ошибок эксперимента с сечениями, полученными в работах [7–10]. Эти опыты позволили также произвести некоторые уточнения экспериментальных сечений потери и захвата электрона водородо- и литиеподобными ионами в гелии и азоте. На всех рисунках настоящей работы приводятся уточненные значения сечений.

Измерения сечений проводились при относительно небольших толщинах слоя газа в камере столкновений, когда ослабление интенсивности вошедшего в камеру столкновений пучка ионов вследствие потери и за-

хвата ими электронов не превышало 10—20%. При выполнении этого условия полученные в эксперименте средние сечения изменения заряда гелиеподобных ионов σ^j связаны с соответствующими сечениями σ^0 и σ^m для невозбужденных и метастабильных частиц следующим образом:

$$\sigma^j = \sigma^0 + r\alpha_j(\sigma^m - \sigma^0), \quad (1)$$

где α_j — относительное количество метастабильных частиц в ионном пучке сразу же после выхода его из мишени. Через j обозначены индексы s, l и a , указывающие на способ образования ионов соответственно в твердой и газовой мишенях и ионном источнике ускорителя. Коэффициент r учитывает уменьшение количества возбужденных частиц в результате их радиационного распада на пути 1—3 м от мишени до камеры столкновений. Поскольку времена жизни метастабильных гелиеподобных частиц достаточно велики [11], то во всех наших случаях имеем: $0,8 \leq r \leq 1$.

Результаты измерений сечений потери и захвата электронов гелиеподобными ионами в гелии и в азоте представлены на рис. 1 и 2. На этих же рисунках отмечены также величины соответствующих сечений для атомов гелия He^0 и гелиеподобных ионов кислорода O^{+6} и фтора F^{+7} , взятые из работ [3, 12—14]. Как видно из рисунков, величины сечений потери электрона $\sigma_{7,8}$ и $\sigma_{7,9}$ ионами F^{+7} в азоте при $v = 12 \cdot 10^8$ см/сек, по-видимому, завышены, возможно из-за неполного разделения частиц с соседними зарядами после прохождения пучка через твердую мишень.

Во всех случаях сечения потери одного электрона $\sigma_{z-2, z-1}^s$ гелиеподобными ионами, образованными в твердой мишени, больше аналогичных сечений $\sigma_{z-2, z-1}^a$ и $\sigma_{z-2, z-1}^l$ для ионов, выведенных непосредственно из ускорителя или полученных в результате обдирки литиеподобных ионов в тонкой газовой мишени, причем величины отношений $\sigma_{z-2, z-1}^s / \sigma_{z-2, z-1}^a$ и $\sigma_{z-2, z-1}^s / \sigma_{z-2, z-1}^l$ изменяются от 2÷6 при $v = 4 \cdot 10^8$ см/сек до 1,2÷1,8 при $v = 12 \cdot 10^8$ см/сек. Это означает, что в пучке гелиеподобных ионов, образованных в твердой пленке, относительное количество метастабильных частиц больше, чем в пучках ионов, полученных двумя другими способами, т. е. $\alpha_s > \alpha_a$ и $\alpha_s > \alpha_l$.

Величины сечений захвата одного электрона $\sigma_{z-2, z-3}^j$, а также сечений потери и захвата двух электронов $\sigma_{z-2, z}^j$ и $\sigma'_{z-2, z-1}$ для гелиеподобных ионов, образованных различными способами, совпадают в пределах экспериментальных ошибок (см. рис. 1 и 2).

§ 3. Определение сечений потери электрона невозбужденными и метастабильными гелиеподобными ионами

В пучках быстрых гелиеподобных частиц, образованных путем ионизации невозбужденных литиеподобных ионов в однократных столкновениях, количество невозбужденных и метастабильных частиц, находящихся соответственно в состояниях $(1s^2)$ и $(1s2s)$, пропорционально сечениям потери $2s$ - и $1s$ -электронов литиеподобными ионами $\sigma_{2s}^1(1s^22s)$ и $\sigma_{1s}^1(1s^22s)$ (здесь и в дальнейшем в скобках указано начальное состояние ионов, нижние индексы обозначают удаляемый электрон, а верхние индексы 1 и 2 указывают, что сечения относятся, соответственно, к газу, находящемуся в мишени, в которой образуются гелиеподобные ионы, или к газу в камере

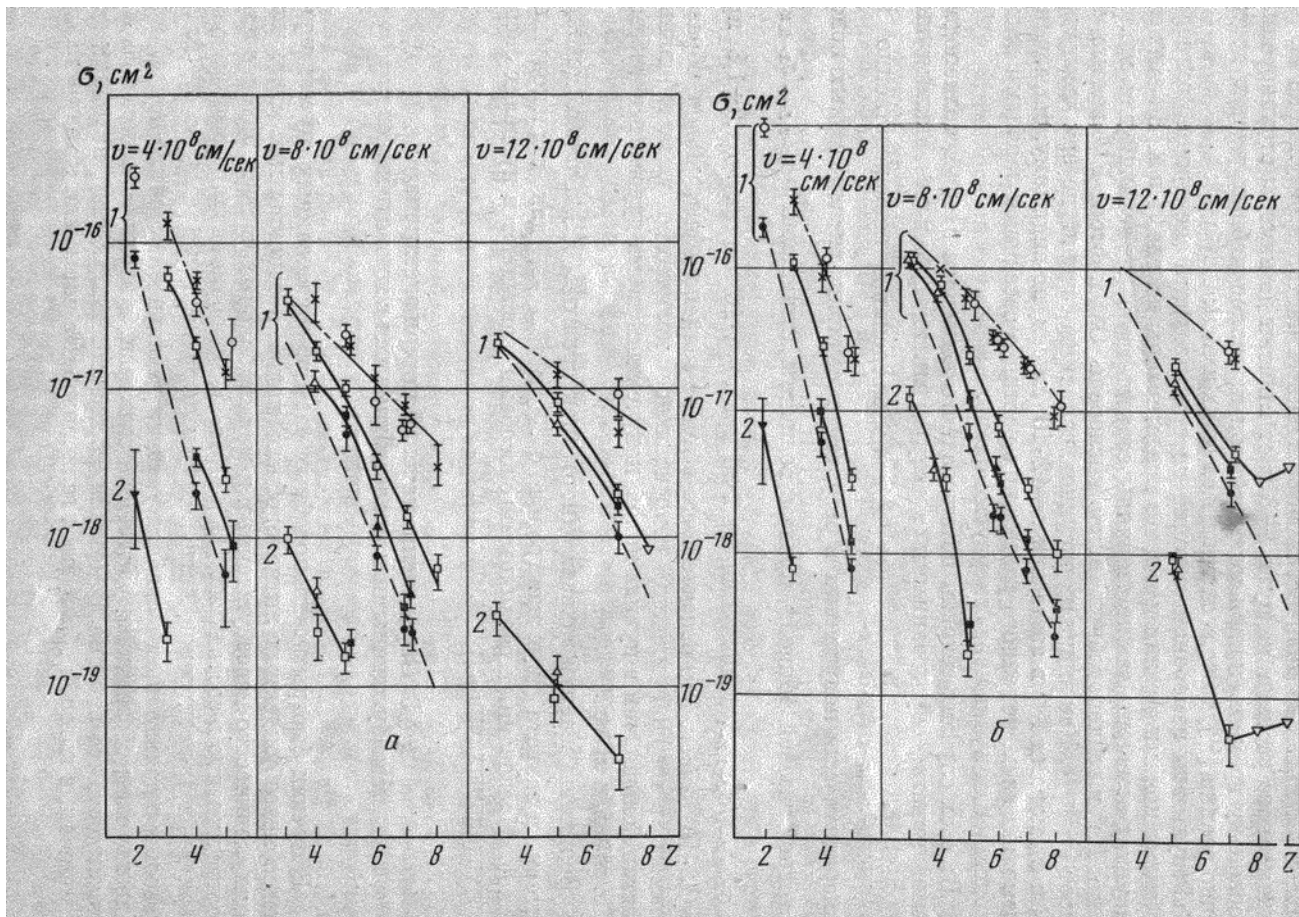
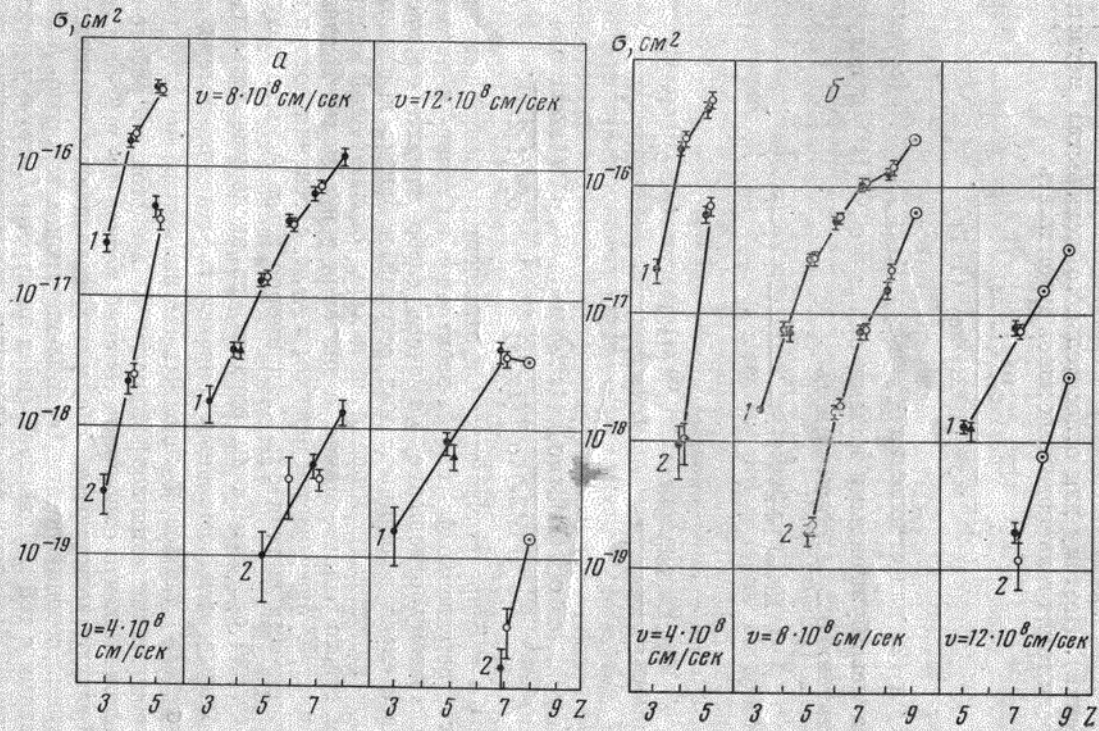


Рис. 1. Сечения потери электрона гелиеподобными ионами в гелии (а) и в азоте (б) при v , равных $4 \cdot 10^8$, $8 \cdot 10^8$ и $12 \cdot 10^8$ см/сек в зависимости от заряда их ядер Z . Цифрами 1 и 2 указаны сечения потери соответственно одного и двух электронов $\sigma_{z-2, z-1}$ и $\sigma_{z-2, z}$. Средние сечения, непосредственно полученные в эксперименте: для ионов, образованных обдиркой литиеподобных частиц и азоте — \blacksquare и гелии — \blacktriangle ($j=l$); для ионов, прошедших твердую пленку — \square ($j=s$); \triangle — сечения для ионов, полученных из циклотрона ($j=a$); ∇ — сечения для ионов O^{+8} и F^{+7} , прошедших твердую пленку, из [13, 14]. Черными кружками (\bullet) показаны сечения $\sigma^0_{z-2, z-1}$ для невозбужденных частиц, светлыми (\circ) и крестиками (\times) — сечения $\sigma^m_{z-2, z-1}$ для метастабильных частиц, полученные по формулам (5) и (6), соответственно. Штриховыми и штрих-пунктирными линиями изображены наиболее вероятные значения $\sigma^0_{z-2, z-1}$ и $\sigma^m_{z-2, z-1}$. Для $Z=2$ значками \circ и \bullet представлены сечения σ_{10^m} и σ_{10^0} из [3], а \blacktriangledown — сечения σ_{02} из [12].

Рис. 2. Сечения захвата электрона гелиеподобными ионами в гелии (а) и азоте (б) при v , равной $4 \cdot 10^8$; $8 \cdot 10^8$ и $12 \cdot 10^8$ см/сек в зависимости от заряда их ядер Z : ● — для ионов, прошедших через твердую мишень ($j=s$); ○ — для ионов, полученных путем ионизации литиеподобных ионов ($j=l$); ▲ — для ионов, полученных непосредственно из циклотрона ($j=a$); ⊙ — для ионов, образованных в твердой мишени, из [13, 14]. Цифрами 1 и 2 указаны сечения захвата соответственно одного и двух электронов $\sigma_{Z-2, Z-3}$ и $\sigma_{Z-2, Z-4}$.



столкновений). Поэтому для относительного количества метастабильных частиц среди таких гелиеподобных ионов будем иметь

$$\alpha_i = \frac{\sigma_{1s}^{(1)}(1s^2 2s)}{\sigma_{2s}^{(1)}(1s^2 2s) + \sigma_{1s}^{(1)}(1s^2 2s)}. \quad (2)$$

Из (1) и (2) для отношения $K^0 = \sigma_{Z-2, Z-1}^0 / \sigma_{Z-2, Z-1}^l$ (сечения потери электрона невозбужденными ионами $\sigma_{Z-2, Z-1}^0 = \sigma_{1s}^{(2)}(1s^2)$ к полученному в опытах сечению $\sigma_{Z-2, Z-1}^l$) будем иметь

$$K^0 = (1 + \varepsilon) \left\{ 1 + \frac{rbc(1 + \gamma)}{a} + (1 - r)\varepsilon \right\}^{-1}, \quad (3)$$

где

$$a = \frac{\sigma_{1s}^{(2)}(1s^2)}{\sigma_{1s}^{(2)}(1s^2 2s)}, \quad b = \frac{\sigma_{2s}^{(2)}(1s 2s)}{\sigma_{2s}^{(2)}(1s^2 2s)}, \quad \varepsilon = \frac{\sigma_{1s}^{(1)}(1s^2 2s)}{\sigma_{2s}^{(1)}(1s^2 2s)},$$

$$c = \frac{\sigma_{2s}^{(2)}(1s^2 2s) \sigma_{1s}^{(1)}(1s^2 2s)}{\sigma_{1s}^{(1)}(1s^2 2s) \sigma_{1s}^{(2)}(1s^2 2s)}, \quad \gamma = \frac{\sigma_{1s}^{(2)}(1s 2s)}{\sigma_{2s}^{(2)}(1s 2s)}.$$

Величины a и b представляют собой отношения сечений потери одних и тех же соответственно $1s$ - или $2s$ -электронов из гелие- и литиеподобных ионов и поэтому отношение b/a очень слабо зависит от предположений относительно величины самих сечений и близко к единице. Величина c при наполнении мишени и камеры столкновений одним и тем же газом строго равна единице, а значения γ и ε малы. В связи с этим коэффициент K^0 оказывается близким к $1/2$, т. е. сечения потери электрона невозбужденными ионами $\sigma_{Z-2, Z-1}^0$ примерно вдвое меньше полученных в опыте сечений $\sigma_{Z-2, Z-1}^l$. Таким образом, из экспериментальных сечений $\sigma_{Z-2, Z-1}^l$ оказывается возможным определить сечения потери электрона $\sigma_{Z-2, Z-1}^0 = \sigma_{1s}^{(2)}(1s^2)$ для невозбужденных частиц.

Конкретные значения коэффициента K^0 в настоящей работе получены в предположении, что отношения сечений потери $1s$ - и $2s$ -электронов, которые образуют величины a , b , c , γ и ε , совпадают с соответствующими отношениями сечений потери $1s$ - и $2s$ -электронов водородо- и литиеподобными ионами с той же энергией связи электрона I , что и у рассматриваемых частиц¹⁾. При этом использовались экспериментальные зависимости сечений потери электрона водородо- и литиеподобными ионами от I , которые, как правило, мало отличаются от теоретических или полуэмпирических зависимостей, полученных в работах [15-17]. Значения I взяты из таблиц, помещенных в работах [18, 19].

Поскольку входящая в (3) величина

$$\varepsilon = \frac{\sigma_{1s}^{(1)}(1s^2 2s)}{\sigma_{2s}^{(1)}(1s^2 2s)} = \frac{1}{a'} \frac{\sigma_{1s}^{(1)}(1s^2)}{\sigma_{2s}^{(1)}(1s^2 2s)}$$

($a' = \sigma_{1s}^{(1)}(1s^2) / \sigma_{1s}^{(1)}(1s^2 2s)$) зависит от сечения $\sigma_{1s}^{(1)}(1s^2)$, которое до вычисления коэффициента K^0 , строго говоря, неизвестно, то значения K^0 на-

¹⁾ Из результатов настоящей работы (см. § 6) следует, что для ионов с $Z \geq 6$ зависимость сечений $\sigma_{Z-2, Z-1}^0$ от энергии связи I оказывается несколько более сильной, чем для водородоподобных частиц (см. рис. 3). Однако учет этого обстоятельства приводит к изменению величины b/a , а следовательно, и коэффициента K^0 не более, чем на 1%.

ходились по следующей, полученной путем преобразования выражения (3), формуле, в которой явная зависимость K^0 от ε сведена к минимуму:

$$K^0 = \left\{ 1 + \frac{rbc(1+\gamma-\delta/r)}{a} + (1-r)\varepsilon \right\}^{-1}, \quad (4)$$

где

$$\delta = \frac{\sigma_{z-2,z-1}^I}{\sigma_{2s}^{(2)}(1s^2s)} = \frac{1}{b} \frac{\sigma_{z-2,z-1}^I}{\sigma_{2s}^{(2)}(1s^2s)}.$$

Проведенный расчет показывает, что отношение b/a для рассматриваемых ионов практически не зависит от рода газа, пропускаемого через камеру столкновений, и для всех исследованных случаев лежит между 0,6 и 1,6. Поскольку форма кривых зависимости сечений потери электрона от I в гелии и азоте несколько различна, то в случае наполнения камеры столкновений гелием, а мишени азотом, значения c близки к 0,6–0,7, а при наполнении камеры столкновений азотом, а мишени гелием (в опытах с ионами C^{+4} и N^{+5} при $v=8 \cdot 10^8$ см/сек) имеем $c \approx 1,7$. При наполнении камеры столкновений и мишени одинаковыми газами имеем $c=1$. Величины δ определяются практически непосредственно из экспериментальных сечений, так как значения $\sigma_{2s}^{(2)}(1s^2s)$ близки к полученным на опыте сечениям потери электрона невозбужденными литиеподобными ионами

$\sigma_{z-3,z-2} = \sigma_{2s}^{(2)}(1s^2s) + \sigma_{1s}^{(2)}(1s^2s)$. Величины δ увеличиваются с ростом v от $\delta \approx 0,03$ для ионов N^{+4} при $v=8 \cdot 10^8$ см/сек до $\delta \approx 0,3$ для тех же ионов при $v=12 \cdot 10^8$ см/сек. Во всех случаях имеем также $\gamma \leq 0,07$ и $(1-r)\varepsilon \leq 0,02$.

Вычисленные таким образом значения K^0 для рассматриваемых ионов заключены в пределах от 0,4 до 0,7. Следует отметить, что при наполнении мишени азотом сечения $\sigma_{z-2,z-1}^I$ на 20–30% ниже полученных при замене газа мишени на гелий. Однако на такую же величину увеличиваются и значения коэффициента K^0 , вследствие чего, как показали экспериментальные результаты для ионов углерода C^{+4} и азота N^{+5} , величины $\sigma_{z-2,z-1}^0$ оказываются в обоих случаях практически одинаковыми (см. рис. 1). Ошибка коэффициента K^0 определяется в основном погрешностями при определении отношений b/a и c и составляет величины порядка 10–20%. В результате суммарная ошибка найденных сечений $\sigma_{z-2,z-1}^0$ составляет 20–25%.

Из экспериментальных значений $\sigma_{z-2,z-1}$ могут быть определены также и сечения потери электрона метастабильными ионами $\sigma_{z-2,z-1}^M$. Поскольку величины $\sigma_{z-2,z-1}^M$ и $\sigma_{z-2,z-1}^0$ в формуле (1) равноправны, то для отношения $K^M = \sigma_{z-2,z-1}^M / \sigma_{z-2,z-1}^0$ можно написать выражение, аналогичное формуле (3):

$$K^M = \frac{1+\varepsilon}{r\varepsilon} \left\{ 1 + \frac{a}{rbc(1+\gamma)} [1+(1-r)\varepsilon] \right\}^{-1}. \quad (5)$$

Из этого выражения видно, что в отличие от K^0 значения K^M существенным образом зависят от величины ε , которая до определения сечений $\sigma_{z-2,z-1}^0$ известна с малой точностью. Поэтому значения K^M , а следовательно, и сечения $\sigma_{z-2,z-1}^M$, можно определить практически только после нахождения сечений $\sigma_{z-2,z-1}^0$ и оценки на этой основе величин ε . Ошибка полученных таким образом значений $\sigma_{z-2,z-1}^M$ складывается из ошибок величин $\sigma_{z-2,z-1}^0$ и ε и близка к 30%.

Так как сечения $\sigma_{2s}(1s^2 2s)$ и $\sigma_{2s}(1s 2s)$ соответствуют потере $2s$ -электронов литие- и гелиеподобными частицами, которые отличаются только количеством электронов во внутренней оболочке, то значения $\sigma_{Z-2, Z-1}^M = (1 + \gamma)\sigma_{2s}(1s 2s)$ могут быть также оценены и из экспериментальных величин $\sigma_{Z-3, Z-2} = (1 + \varepsilon)\sigma_{2s}(1s^2 2s)$ для литиеподобных частиц:

$$\sigma_{Z-2, Z-1}^M = b \frac{1 + \gamma}{1 + \varepsilon} \sigma_{Z-3, Z-2}. \quad (6)$$

Значения коэффициента $b(1 + \gamma)/(1 + \varepsilon)$, полученные в указанных выше предположениях, заключены в пределах от 0,4 до 0,7. Таким образом, сечения потери электрона метастабильными гелиеподобными ионами $\sigma_{Z-2, Z-1}^M$ в среднем примерно в два раза меньше сечений потери электрона $\sigma_{Z-3, Z-2}^0$ невозбужденными литиеподобными ионами того же элемента. Ошибка величин $\sigma_{Z-2, Z-1}^M$, вычисленных по формуле (6), близка к 20%. Значения $\sigma_{Z-2, Z-1}^M$, полученные из (5) и (6), в пределах указанной точности совпадают (см. рис. 1).

Полученные сечения потери электрона невозбужденными и метастабильными гелиеподобными ионами $\sigma_{Z-2, Z-1}^0$ и $\sigma_{Z-2, Z-1}^M$ приведены на рис. 1 вместе с экспериментальными значениями $\sigma_{Z-2, Z-1}^j$. Штриховыми линиями показаны наиболее вероятные значения $\sigma_{Z-2, Z-1}^0$, которые следуют из всей совокупности полученных данных о $\sigma_{Z-2, Z-1}^0$. При $Z \leq 5$, в соответствии с выводами § 6, они определяются соотношением

$$\sigma_{Z-2, Z-1}^0 = 2[\sigma_{1s}(1s) - \sigma_{Z-2, Z}^0],$$

где $\sigma_{1s}(1s)$ — сечение потери электрона водородоподобными ионами с той же энергией связи электрона I , что и в рассматриваемой гелиеподобной частице. Штрих-пунктиром даны наиболее вероятные значения $\sigma_{Z-2, Z-1}^M$, полученные по формуле (6) из сглаженной экспериментальной зависимости сечений потери электрона литиеподобными ионами $\sigma_{Z-3, Z-2}$ от энергии связи электрона I .

§ 4. Относительное количество метастабильных частиц в пучках гелиеподобных ионов

Из соотношений (1) и (2) для относительного количества метастабильных частиц α_j в ионном пучке имеем

$$\alpha_j = \frac{1}{r} \frac{(\sigma_{Z-2, Z-1}^j / \sigma_{Z-2, Z-1}^0) - 1}{(\sigma_{Z-2, Z-1}^M / \sigma_{Z-2, Z-1}^0) - 1}. \quad (7)$$

Таким образом, если сечения потери электрона невозбужденными $\sigma_{Z-2, Z-1}^0$ и метастабильными $\sigma_{Z-2, Z-1}^M$ ионами известны, то по найденным в эксперименте средним сечениям потери электрона $\sigma_{Z-2, Z-1}^j$ можно определить значения α_j . При вычислении величин α_j в качестве значений $\sigma_{Z-2, Z-1}^0$ и $\sigma_{Z-2, Z-1}^M$ в формуле (7) были взяты их наиболее вероятные значения, показанные на рис. 1 пунктиром и штрих-пунктиром. Полученные таким образом относительные количества метастабильных частиц α_i , α_s и α_a в пучках гелиеподобных ионов, возникших в результате ионизации литиеподобных частиц в тонкой газовой мишени, образованных при прохождении

пучка ионов через твердую пленку, и для гелиеподобных ионов, полученных непосредственно из ускорителя, приведены в таблице. Относительная ошибка α_i в соответствии с (7) в 2–3 раза больше относительной ошибки сечений $\sigma_{z-2,z-1}^l$ и составляет в среднем величину порядка 30%.

§ 5. Сечения захвата одного и двух электронов и потери двух электронов гелиеподобными ионами

По результатам измерений средних сечений любого процесса для двух ионных пучков с различным, но известным содержанием метастабильных частиц (например, по результатам измерений величин σ^l и σ^s при известных α_i и α_s) можно, вообще говоря, определить отдельно сечения этого процесса σ^0 и σ^m для невозбужденных и метастабильных частиц. Из формулы (1), в частности, имеем

$$\begin{aligned} \frac{\sigma^0}{\sigma^l} &= \left(\frac{\alpha_s}{\alpha_i} - \frac{\sigma^s}{\sigma^l} \right) / \left(\frac{\alpha_s}{\alpha_i} - 1 \right), \\ \frac{\sigma^m}{\sigma^l} &= \left(\frac{\sigma^s}{\sigma^l} \frac{1-\alpha_i}{\alpha_i} - \frac{1-\alpha_s}{\alpha_i} \right) / \left(\frac{\alpha_s}{\alpha_i} - 1 \right). \end{aligned} \quad (8)$$

Полученные в настоящей работе сечения захвата одного и двух электронов и сечения потери двух электронов приводят к следующим средним значениям σ^s/σ^l и величинам среднего отклонения от них:

$$\frac{\sigma_{z-2,z-3}^s}{\sigma_{z-2,z-3}^l} = 0,98 \pm 0,15, \quad \frac{\sigma_{z-2,z-4}^s}{\sigma_{z-2,z-4}^l} = 1,1 \pm 0,3, \quad \frac{\sigma_{z-2,z}^s}{\sigma_{z-2,z}^l} = 0,8 \pm 0,2.$$

Экспериментальная ошибка этих отношений практически совпадает с приведенными здесь величинами среднего разброса.

Из этих значений σ^s/σ^l и приведенных в таблице величин α_s и α_i по формуле (8) для отношения искомого сечения σ^0 и σ^m к измеренным σ^l получаются следующие средние значения и средние отклонения от них:

для захвата одного электрона:

$$\frac{\sigma_{z-2,z-3}^0}{\sigma_{z-2,z-3}^l} = 1,01 \pm 0,03, \quad \frac{\sigma_{z-2,z-3}^m}{\sigma_{z-2,z-3}^l} = 0,7 \pm 0,5 (\pm 0,2),$$

для захвата двух электронов:

$$\frac{\sigma_{z-2,z-4}^0}{\sigma_{z-2,z-4}^l} = 0,98 \pm 0,05, \quad \frac{\sigma_{z-2,z-4}^m}{\sigma_{z-2,z-4}^l} = 1,4 \pm 1,8 (\pm 0,6)$$

и для потери двух электронов:

$$\frac{\sigma_{z-2,z}^0}{\sigma_{z-2,z}^l} = 1,1 \pm 0,1, \quad \frac{\sigma_{z-2,z}^m}{\sigma_{z-2,z}^l} = 0,2 \pm 0,7 (\pm 0,2).$$

Ввиду того, что отношения σ^s/σ^l близки к единице, а значения α_s в большинстве случаев в несколько раз больше величин α_i , ошибка отношения σ^0/σ^l оказывается существенно меньше ошибки $\Delta(\sigma^s/\sigma^l)$ отношения σ^s/σ^l и близка к $(\alpha_i/\alpha_s)\Delta(\sigma^s/\sigma^l)$, а ошибка отношения σ^m/σ^l значительно больше ошибки $\Delta(\sigma^s/\sigma^l)$ и близка к $(1/\alpha_s)\Delta(\sigma^s/\sigma^l)$. В связи с этим для процессов захвата и потери двух электронов ошибка индивидуальных значений

Ион	$10^8 \frac{v}{\text{см/сек}}$	α_s		α_l				α_a	
		—		Газ в мишени He		Газ в мишени N ₂		—	
		Газ в камере столкновений							
		He	N ₂	He	N ₂	He	N ₂	He	N ₂
Li ⁺	4	—	0,3±0,2	—	—	—	—	—	—
	8	0,5±0,2	0,4±0,2	—	—	—	—	—	0,4±0,2
	12	0,16±0,05	—	—	—	—	—	—	—
Be ⁺²	4	—	0,23±0,10	—	—	0,04±0,03	0,04±0,03	—	—
	8	0,4±0,2	0,65±0,30	—	—	—	—	0,10±0,05	0,2±0,1
B ⁺³	4	—	0,075±0,030	—	—	0,03±0,02	0,014±0,010	—	—
	8	0,37±0,10	0,31±0,07	—	—	0,15±0,05	0,09±0,03	—	—
	12	0,33±0,10	0,22±0,07	—	—	—	—	0,10±0,05	0,08±0,05
C ⁺⁴	8	0,20±0,05	0,17±0,05	0,06±0,02	0,07±0,02	—	0,034±0,015	—	—
N ⁺⁵	8	0,14±0,05	0,10±0,03	0,04±0,02	—	0,03±0,01	0,03±0,01	—	—
	12	0,15±0,10	0,12±0,10	—	—	0,13±0,04	0,07±0,05	—	—
O ⁺⁶	8	0,09±0,04	0,06±0,03	—	—	—	0,15±0,10	—	—

0,15±0,010

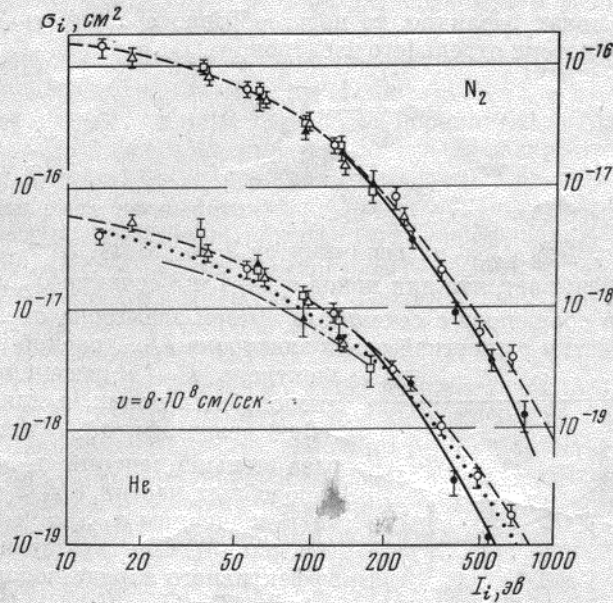


Рис. 3. Сечения потери отдельного электрона σ_i в зависимости от энергии его связи I для различных ионов в гелии и в азоте при $v=8 \cdot 10^8$ см/сек; \circ (и пунктир) — $\sigma_{1s}(1s)$ для водородоподобных частиц; \bullet (и сплошная кривая) — $\sigma_{1s}(1s^2)$ для невозбужденных гелиеподобных ионов; \square и \blacktriangle — сечения $\sigma_{2s}(1s2s)$ для метастабильных гелиеподобных ионов, полученные соответственно по формулам (5) и (6); Δ — $\sigma_{2s}(1s^22s)$ для литиеподобных частиц; точечная кривая — теоретические значения $\sigma_{1s}(1s)$ из [15]; штрих-пунктирная — теоретические значения $\sigma_{1s}(1s^2)$ из [22]

σ^M/σ^I оказывается больше 100%. Однако для всей совокупности значений этих отношений ошибка составляет соответственно $\sim 40\%$ и $\sim 100\%$. Эти ошибки указаны в скобках.

Из приведенных отношений видно, что сечения σ^0 захвата одного и двух электронов и сечения потери двух электронов невозбужденными гелиеподобными ионами совпадают в пределах точности измерений с соответствующими экспериментальными сечениями σ^I для гелиеподобных ионов, образованных путем потери электрона литиеподобными ионами в тонкой газовой мишени. Для аналогичных сечений σ^M , относящихся к метастабильным ионам, получены лишь довольно грубые оценки, из которых, однако, можно заключить, что сечения захвата одного электрона σ_{Z-3}^0 и потери двух электронов $\sigma_{Z-2,Z}^M$ метастабильными частицами, по-видимому, несколько меньше соответствующих сечений $\sigma_{Z-2,Z-3}^0$ и $\sigma_{Z-2,Z}^0$ для невозбужденных ионов.

§ 6. Обсуждение полученных результатов

а) О сечениях потери электронов гелиеподобными ионами

Полученные сечения потери электрона $\sigma_{Z-2,Z-1}^0$ невозбужденными гелиеподобными ионами интересно сопоставить с аналогичными сечениями $\sigma_{Z-1,Z}$ для водородоподобных частиц. При этом, поскольку число электро-

нов q в этих ионах различно, то целесообразно сравнивать, как показано в [10], сечения потери отдельного электрона

$$\sigma_i = \frac{1}{q} \sum_s s \sigma_{i,i+s},$$

т. е. величины $\sigma_{Z-2}^0 = 1/2 \sigma_{Z-2,Z-1}^0 + \sigma_{Z-2,Z}^0$ (которые во всех наших случаях отличаются от $1/2 \sigma_{Z-2,Z-1}^0$ на величину от 3 до 10%) и $\sigma_{Z-1} = \sigma_{Z-1,Z}$. Это сравнение показывает, что для ионов с $Z=4$ и 5 сечения σ_{Z-2}^0 в пределах ошибок опыта совпадают с сечениями потери электрона σ_{Z^*-1} для водородоподобных частиц с энергией связи электрона I_{Z^*-1} , равной энергии связи

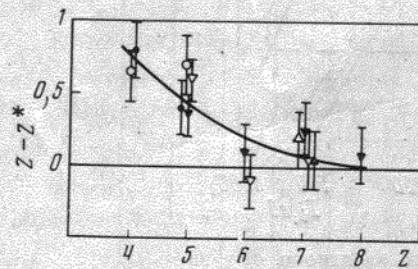


Рис. 4. Значения $Z-Z^*$, соответствующие экспериментальным сечениям потери электрона невозбужденными гелиеподобными ионами в гелии (светлые точки) и в азоте (черные точки) в зависимости от заряда ядер ионов Z : $\bullet, \circ - v=4 \cdot 10^8$ см/сек; $\nabla - v=8 \cdot 10^8$ см/сек; $\blacktriangle, \triangle - v=12 \cdot 10^8$ см/сек

электрона I_{Z-2} в рассматриваемых гелиеподобных ионах, а для ионов с $Z=6 \div 8$ величины σ_{Z-2}^0 примерно в 1,5 раза меньше сечений σ_{Z^*-1} для водородоподобных частиц с $I_{Z^*-1} = I_{Z-2}$ и близки к значениям σ_{Z^*-1} для $I_{Z^*-1} \approx 1,15 I_{Z-2}$ (см. рис. 3). Соответствующие значения эффективного заряда водородоподобных частиц $Z^* = (I_{Z^*-1}/I_0)^{1/2}$, где $I_0 = 13,6$ эв, для ионов с $Z=4$ и 5 оказываются близкими к $Z-0,6$, а для ионов с $Z=6-8$ — близкими к Z (см. рис. 4).

Поскольку волновая функция электрона в невозбужденных гелиеподобных ионах близка к кулоновской волновой функции в поле заряда $Z-0,3$, а освобожденный электрон на больших расстояниях от ядра находится в кулоновском поле заряда $Z-1$, то соответствие величин σ_{Z-2}^0 (при $Z \leq 5$) сечениям потери электрона водородоподобными частицами с зарядами $Z^* = Z-0,6$, которые являются промежуточными между величинами $Z-0,3$ и $Z-1$, представляется довольно естественным. В связи с этим следует отметить, что экспериментальные сечения ионизации гелия протонами [20] при $v > 2v_0$ также соответствуют сечениям ионизации водородоподобных частиц с зарядом ядер $Z^* = Z-0,65$, или, иначе говоря, с такой же энергией связи электрона, как и в атоме гелия. Результат же для ионов с $Z=6 \div 8$ с той же точки зрения представляется аномальным. Он противоречит выводам, вытекающим из теоретических расчетов сечений потери K -электрона неводородоподобными частицами [21, 22] по методу Мерзбахера и Льюиса [24], согласно которым в области $Zv_0/v > 1$, где $v_0 = e^2/\hbar = 2,19 \cdot 10^8$ см/сек, при увеличении параметра Zv_0/v разница между значениями Z и Z^* должна увеличиваться. Понижение сечений для ионов с $Z=6-8$ имеет, по-видимому, ту же природу, что и отмеченное в обзоре Гарсия, Фортнера и Каванага [23] понижение сечений выбивания протонами K -электронов из атомов легких элементов.

Для метастабильных гелиеподобных частиц сечения потери отдельного электрона σ_{Z-2}^M практически не отличаются от сечений потери одного $2s$ -электрона $\sigma_{Z-2,Z-1}^M$, которые, как уже указывалось выше (§ 3), совпадают с сечениями потери электрона невозбужденными литиеподобными ионами с той же энергией связи электронов I . Следует отметить, что в области I от 20 до 200 эв, к которой принадлежат найденные сечения $\sigma_{Z-2,Z-1}^M$, при одинаковых значениях I сечения потери $2s$ -электрона совпа-

дают с сечениями потери 1s-электрона для водородо- и гелиеподобных частиц (рис. 3).

Полученные сечения потери двух 1s-электронов $\sigma_{Z-2,Z}^0$ невозбужденными гелиеподобными частицами были сопоставлены с взятыми из работы [10] сечениями потери двух электронов бериллиеподобными ионами, во внешней L-оболочке которых имеется по два 2s-электрона. Для ионов с одинаковыми значениями энергии связи удаляемых внешних 1s и 2s-электронов эти сечения в пределах экспериментальных ошибок совпадают.

При рассмотрении сечений потери двух электронов $\sigma_{Z-2,Z}^M$ метастабильными гелиеподобными частицами следует иметь в виду, что энергии связи 1s- и 2s-электронов в этих ионах близки к энергиям связи 1s- и 2s-электронов в литиеподобных ионах с тем же зарядом i , а количество 1s-электронов вдвое меньше. В связи с этим сечения $\sigma_{i,i+2}^M$ для гелиеподобных ионов должны быть примерно вдвое меньше сечений $\sigma_{i,i+2}$ для невозбужденных литиеподобных частиц с тем же зарядом i . Учитывая это, из полученных в настоящей работе значений $\sigma_{Z-2,Z}^0 = \sigma_{i,i+2}(1s^2)$ и известных ранее [10] сечений потери двух электронов $\sigma_{i,i+2}(1s^2 2s)$ литиеподобными ионами для отношения сечений потери двух электронов метастабильными и невозбужденными гелиеподобными ионами получим

$$\frac{\sigma_{Z-2,Z}^M}{\sigma_{Z-2,Z}^0} \approx \frac{1}{2} \frac{\sigma_{i,i+2}(1s^2 2s)}{\sigma_{i,i+2}(1s^2)} = 0,7 \pm 0,3,$$

что согласуется с экспериментальной оценкой этого отношения, полученной в § 5.

б) О сечениях захвата электрона простейшими ионными системами

Поскольку полученные в эксперименте сечения захвата электрона $\sigma_{Z-2,Z-3}^I$ практически совпадают с соответствующими сечениями $\sigma_{Z-2,Z-3}^0$ для невозбужденных частиц, представляется разумным провести сравнение этих сечений с сечениями захвата электрона $\sigma_{i,i-1}$ другими наиболее простыми ионными системами: атомными ядрами и водородо- и литиеподобными ионами.

Такое сопоставление сечений захвата электрона для частиц с числом электронов $N=Z-i$ от 0 до 3 показывает, что для ионов с большими зарядами i , для которых отношение $\eta = I(n_0)/\frac{1}{2}\mu v^2$ больше единицы (здесь $I(n_0)$ — энергия связи электрона в ближайшей к ядру незаполненной электронной оболочке с главным квантовым числом $n=n_0$; μ — масса электрона), сечения $\sigma_{i,i-1}$ практически не зависят от числа N находящихся в ионе электронов и пропорциональны i^2 , а при $\eta \leq 1$ существенно различаются для ионов с различными значениями N , причем для гелиеподобных ионов сечения $\sigma_{i,i-1}$ меньше, чем для водородо- и литиеподобных частиц (рис. 5). Однако значения сечений, деленные на число вакансий $p(n_0)$ в ближайшей к ядру незаполненной электронной оболочке, для ионов всех четырех типов при одинаковых значениях $I(n_0)$ оказываются практически одинаковыми (рис. 6). При этом величины $\sigma_{i,i-1}/p(n_0)$ пропорциональны $I^\alpha(n_0)$, где $\alpha \sim 2$ при $\eta \leq 0,2$ и $\alpha \approx 3/2$ при $\eta = 0,2 \div 1$. Значения $\sigma_{i,i-1}$, соответствующие единой для всех ионов зависимости $\sigma_{i,i-1}/p(n_0)$ от $I(n_0)$, изображенной на рис. 6 сплошной линией, хорошо описывают поведение сечений захвата электрона $\sigma_{i,i-1}$ при изменении N в области $\eta < 1$ (см. рис. 5). При $\eta \sim 1$ значения $\sigma_{i,i-1}/p(n_0)$ становятся пропорциональ-

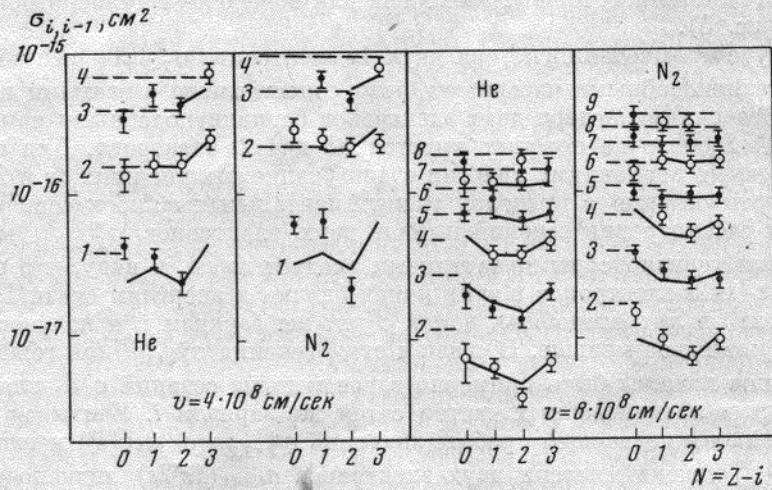


Рис. 5. Сечения захвата электрона $\sigma_{i,i-1}$ простейшими атомными системами в гелии и в азоте в зависимости от количества N находящихся в ионе электронов при $v=4 \cdot 10^8$ и $8 \cdot 10^8$ см/сек. Точками показаны экспериментальные сечения; сплошными линиями даны значения $\sigma_{i,i-1}$, соответствующие общей для всех ионов зависимости $\sigma_{i,i-1}/p(n_0)$ от $I(n_0)$ при $\eta < 1$; штриховыми линиями — значения $\sigma_{i,i-1}$, пропорциональные i^2 для $\eta > 1$. Цифрами от 1 до 9 указан заряд ионов i

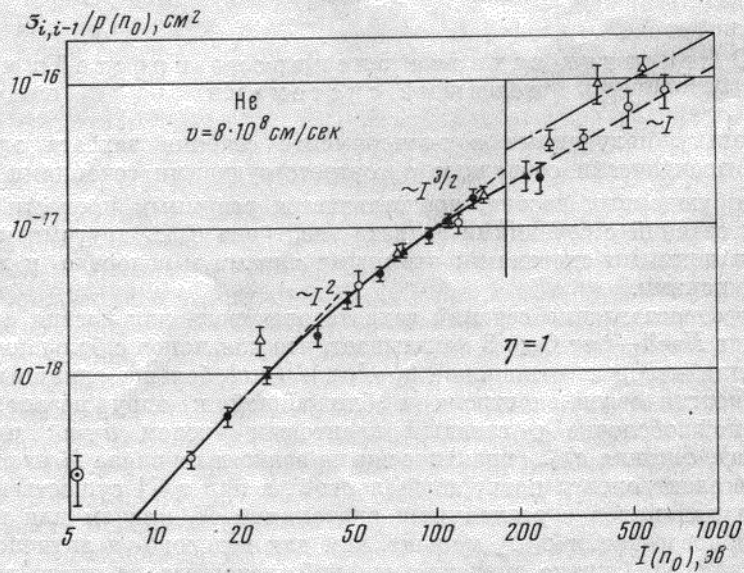


Рис. 6. Значения $\sigma_{i,i-1}/p(n_0)$ в гелии для невозбужденных ионов с различным числом электронов N в зависимости от $I(n_0)$: \circ , Δ , \bullet и \blacktriangle — для N , равного 0, 1, 2 и 3, соответственно. Сплошной линией представлена общая для всех ионов кривая зависимости $\sigma_{i,i-1}/p(n_0)$ от $I(n_0)$ при $\eta < 1$. Мелким пунктиром показаны зависимости типа $I^2(n_0)$ и $I^{3/2}(n_0)$ при $\eta < 1$; пунктиром и штрих-пунктиром даны значения $\sigma_{i,i-1}/p(n_0)$, пропорциональные $I(n_0)$ в области $\eta > 1$ для ионов с N , равным 0, 2 и 3, и для ионов с $N=1$, соответственно. \odot — сечения σ_{10^8} для ионов Li^+

ными $I(n_0)$, что соответствует квадратичной зависимости $\sigma_{i, i-1}$ от i , характерной для ионов с большими зарядами.

Полученные экспериментальные данные о сечениях захвата электрона водородоподобными ионами в состоянии с главным квантовым числом $n \geq 1$ и гелиеподобными ионами в состоянии с $n \geq 2$ дают возможность оценить сечения захвата электрона только в состоянии с $n=1$. Из этих оценок следует, что при $\eta < 1/3$ величина сечения захвата электрона в состоянии с $n \geq 2$ не превышает 20–30% от величины сечения захвата электрона в состоянии с $n=1$. Однако в области $\eta > 1/3$ относительная вероятность захвата электрона в состоянии с $n \geq 2$ быстро возрастает с ростом $I(n_0)$ и для ионов с $\eta > 1$ сечения захвата электрона в состоянии с $n \geq 2$ практически совпадают с измеряемыми в эксперименте сечениями $\sigma_{z, z-1}$ и $\sigma_{z-1, z-2}$. В связи с этим становится понятным определяющая роль величин $p(n_0)$ и $I(n_0)$ в области $\eta \leq 1$ и отсутствие зависимости $\sigma_{i, i-1}$ от N в области $\eta > 1$.

Интересно отметить, что эти выводы следуют также и из простейшей квантовомеханической формулы Бринкмана – Крамерса [24, 25] для сечений захвата электрона атомными ядрами с зарядом Z , если при применении ее к частицам с числом электронов $N > 0$ величину Z/n заменить на $[I(n)/I_0]^{1/2}$, а величину $n^2 - na^{1/2}p(n)$, где $I(n)$ и $p(n)$ – средняя энергия связи электрона и число вакансий в состояниях с главным квантовым числом n . Из этой формулы следует, что при $\eta > 1$ захват электрона осуществляется преимущественно в возбужденные состояния с энергией связи $I(n) \approx 1/4 \mu v^2 + I_c$ (I_c – энергия связи захватываемых электронов в атоме среды), поэтому сечение захвата электрона определяется зарядом ионов i и их скоростью v и не зависит от N . В области же $\eta \ll 1$ значения $\sigma_{i, i-1}$ должны быть пропорциональны сумме $\sum_n p(n) [I(n)]^{1/2}$, и поэтому для

невозбужденных гелиеподобных частиц, если бы выполнялось соотношение $I(n) = i^2 I_0 / n^2$ и, в частности $I(n_0) = i^2 I_0 / 4$, величины $\sigma_{i, i-1} / p(n_0)$ должны бы быть на 30% больше, чем для ядер с тем же значением $I(n_0)$. Но из-за того, что для гелиеподобных ионов реальные значения $I(n_0)$ больше, чем $i^2 I_0 / 4$, величины $\sigma_{i, i-1} / p(n_0)$ для ионов с $n=0$ и 2 различаются не более чем на 15%.

При рассмотрении сечений захвата электрона $\sigma_{Z-2, Z-3}^M$ метастабильными гелиеподобными ионами следует иметь в виду, что при захвате электрона в состоянии с $n \geq 2$ образуются литиеподобные частицы с K -вакансией, большая часть которых автоионизуется с переходом в основное состояние гелиеподобных ионов еще до выхода частиц из камеры столкновений [26]. Поэтому получаемые на опыте сечения захвата электрона метастабильными ионами должны быть близки к сечению захвата электрона только в вакантное состояние K -оболочки. Отсюда следует, что при $\eta \geq 1$, когда метастабильные ионы захватывают электрон главным образом в состоянии с $n \geq 2$, сечения $\sigma_{Z-2, Z-3}^M$ должны быть меньше величин $\sigma_{Z-2, Z-3}^0$ для невозбужденных частиц, а при $\eta < 1$ больше, чем $\sigma_{Z-2, Z-3}^0$. В частности, при $\eta \ll 1$, когда сечения захвата электрона пропорциональны $p(n_0) [I(n_0)]^{1/2}$, величины $\sigma_{Z-2, Z-3}^M$ в соответствии с известными значениями $I(n_0)$ [18] должны превышать величины $\sigma_{Z-2, Z-3}^0$ в $4[(Z-0,2)/(Z-1,75)]^2$ раз, т. е. для ионов с $Z = (7 \div 10)$ – на порядок, а для ионов с $Z = (3 \div 4)$ – на два порядка.

Отношения $\sigma_{Z-2, Z-3}^M / \sigma_{Z-2, Z-3}^0$ могут быть оценены, исходя из полученной экспериментальной зависимости $\sigma_{i, i-1} / p(n_0)$ от $I(n_0)$. Для тех случаев, когда средние сечения захвата электрона гелиеподобными ионами в наших опытах были определены при двух разных способах их образования,

значения η для метастабильных частиц заключены в пределах от 0,8 (для ионов V^{+3} при $v=12 \cdot 10^8$ см/сек) до ~ 7 (для тех же ионов V^{+3} при $v=4 \cdot 10^8$ см/сек) и поэтому величины $\sigma_{z-2,z-3}^m/\sigma_{z-2,z-3}^0$ должны находиться в пределах от ~ 1 до $\sim 0,1$, а значения $\sigma_{z-2,z-3}^0/\sigma_{z-2,z-3}^j$ между 1,0 и 1,1. Эти величины хорошо согласуются с непосредственными экспериментальными оценками этих отношений, полученными в § 5.

Для однозарядных ионов лития со скоростями $4 \cdot 10^8$, $8 \cdot 10^8$ и $12 \cdot 10^8$ см/сек, для которых в наших опытах были получены только значения σ_{10}^s , величины η равны соответственно 4,4; 0,6 и 0,3. В связи с этим отношения $\sigma_{10}^m/\sigma_{10}^0$ должны быть близки к 3; 5 и 30, а значения $\sigma_{10}^0/\sigma_{10}^s$ составлять величины $\sim 1,5$; $\sim 0,3$ и $\sim 0,2$, т. е. сечения захвата электрона невозбужденными ионами Li^+ должны быть в 1,6, ~ 3 и ~ 5 раз меньше найденных в эксперименте средних значений σ_{10}^s . Это подтверждается сравнением экспериментальных величин σ_{10}^s со значениями σ_{10}^c , найденными из общей для всех частиц кривой зависимости $\sigma_{i,i-1}/p(n_0)$ от $I(n_0)$ (см. рис. 6).

Авторы выражают глубокую благодарность сотрудникам группы обслуживания 72-сантиметрового циклотрона, особенно Ю. П. Дивногорцеву, Ю. А. Дружинину, В. А. Калите, В. А. Ларину и А. С. Кондратьеву за помощь во время проведения эксперимента.

Институт ядерной физики
Московского государственного
университета им. М. В. Ломоносова

Поступила в редакцию
11 июня 1974 г.

Литература

- [1] И. С. Дмитриев, В. С. Николаев, Я. А. Теплова. Phys. Lett., 26A, 122, 1968.
- [2] H. B. Gilbody, R. Browning, G. Levy, A. J. McIntosh, K. F. Dunn. J. of Phys., B1, 863, 1968.
- [3] H. B. Gilbody, K. F. Dunn, R. Browning, C. J. Latimer. J. of Phys., B3, 1105, 1970.
- [4] H. Tawara. J. Phys. Soc. Japan, 31, 236, 1971.
- [5] R. E. Miers, L. W. Anderson. Phys. Rev., A1, 819, 1970.
- [6] Ю. А. Ташаев, И. С. Дмитриев, В. С. Николаев, Я. А. Теплова. VII Int. Conf. Phys. Electr. and Atom. Collis., Abstr. of Papers, Amsterdam, 1971, p. 1094.
- [7] В. С. Николаев, И. С. Дмитриев, Л. Н. Фатеева, Я. А. Теплова. ЖЭТФ, 40, 989, 1961.
- [8] В. С. Николаев, Л. Н. Фатеева, И. С. Дмитриев, Я. А. Теплова. ЖЭТФ, 41, 89, 1961.
- [9] И. С. Дмитриев, В. С. Николаев, Л. Н. Фатеева, Я. А. Теплова. ЖЭТФ, 42, 16, 1962.
- [10] И. С. Дмитриев, В. С. Николаев, Л. Н. Фатеева, Я. А. Теплова. ЖЭТФ, 43, 361, 1962.
- [11] В. С. Сенашенко, Б. Теку. Вестник МГУ, Физика и астрономия, 3, 120, 1968.
- [12] S. K. Allison. Phys. Rev., 110, 670, 1958.
- [13] J. R. Macdonald, F. W. Martin. Phys. Rev., A4, 1965, 1971.
- [14] J. R. Macdonald, S. M. Ferguson, T. Chiao, L. D. Ellswort, S. A. Savoy. Phys. Rev., A5, 1158, 1972.
- [15] И. С. Дмитриев, Я. М. Жилейкин, В. С. Николаев. ЖЭТФ, 49, 500, 1965.
- [16] В. С. Сенашенко, В. С. Николаев, В. Ю. Шафер, И. С. Дмитриев. Вестник МГУ, Физика и астрономия, 2, 36, 1970.
- [17] В. С. Николаев, В. С. Сенашенко, В. Ю. Шафер. Вестник МГУ, Физика и астрономия, 3, 357, 1973.

- [18] Ch. Moor. Atomic Energy Levels, Circular of the Nat. Bureau of Stand. 467, 1949.
[19] W. Lotz. JOSA, 58, 915, 1968.
[20] G. W. Hooper, D. S. Harner, D. W. Martin, E. W. McDaniel. Phys. Rev., 125, 2000, 1962.
[21] E. Merzbacher, H. W. Lewis. Handbuch der Physik, 34, 165, 1958.
[22] В. С. Сенашенко, В. С. Николаев, И. С. Дмитриев. ЖЭТФ, 54, 1203, 1968.
[23] J. D. Garsia, R. J. Fortner, T. M. Kavanagh. Rev. Mod. Phys., 45, 111, 1973.
[24] M. C. Brinkman, H. A. Kramers. Proc. Acad. Sci. Amsterdam, 33, 973, 1930.
[25] В. С. Николаев. УФН, 85, 679, 1965.
[26] И. С. Дмитриев, В. С. Николаев, Я. А. Теплова. ЖЭТФ, 61, 1359, 1971.

EXPERIMENTAL INVESTIGATION OF ELECTRON LOSS
AND CAPTURE BY FAST UNEXCITED AND METASTABLE
HELIUM-LIKE IONS IN ION-ATOMIC COLLISIONS

I. S. Dmitriev, V. S. Nikolaev, Yu. A. Tashaev, Ya. A. Teplova

The mean cross sections for loss or capture of one or two electrons are determined for beams of helium-like particles containing a metastable component, the particles being produced as the result of loss of an electron by lithium-like ions and obtained by passing the fast particle beam through a thin celluloid film. From the results of these measurements the cross sections for electron loss or capture by unexcited helium-like ions are found and also the cross sections for electron loss by metastable helium-like ions with nuclear charges Z from 3 to 8 traversing helium or nitrogen with velocities varying between $4 \cdot 10^8$ and $12 \cdot 10^8$ cm/sec. The electron loss and capture cross sections thus obtained are compared with the cross sections for other simple atomic systems. The relative number of metastable particles in beams of helium-like ions produced in the indicated manner are determined.
